

# Princípio de Incerteza



W. Heisenberg  
Nobel 1932

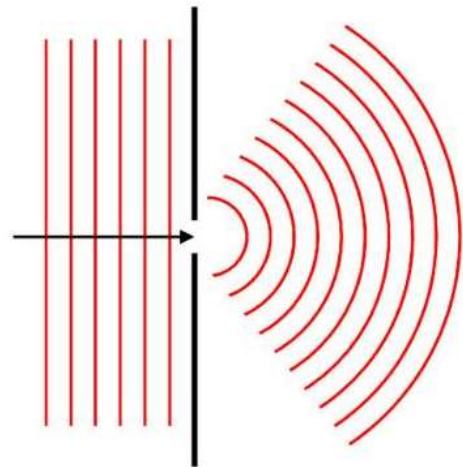
Uma consequência do comprimento de onda de Broglie

É impossível determinar simultaneamente  
a posição e o momento linear duma partícula  
até uma precisão arbitrária

$$\Delta x \Delta p_x \geq \frac{\hbar}{2}$$

$$\hbar = h / 2\pi$$

$$\hbar = 1.0545718 \times 10^{-34} \text{ Js}$$





Louis de Broglie  
1892-1987  
Nobel 1929

Se a luz comporta como partículas com

uma energia  $E = hf$

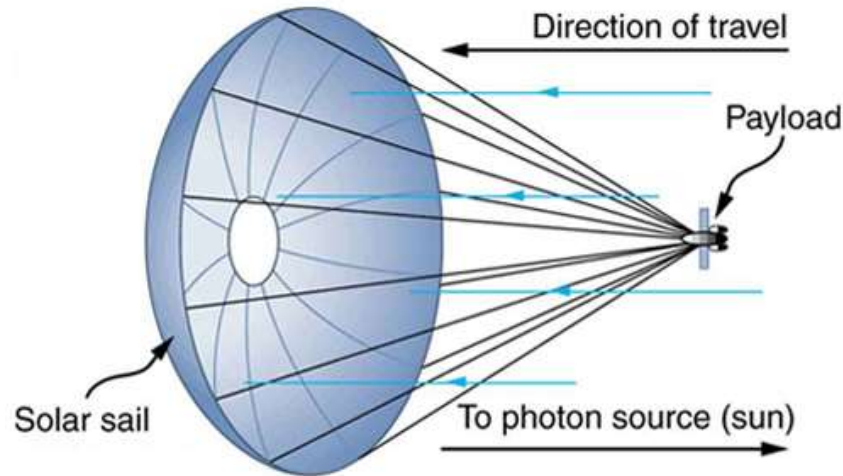
$$E^2 = p^2 c^2 + m^2 c^4$$

e um momento  $p = \frac{E}{c} = \frac{hf}{c} = \frac{h}{\lambda}$

Então talvez partículas com um momento  $p$ ,  
podem se comportar como ondas com um  
comprimento de onda

$$\lambda = \frac{h}{p}$$

# Aplicação Velas Espaciais



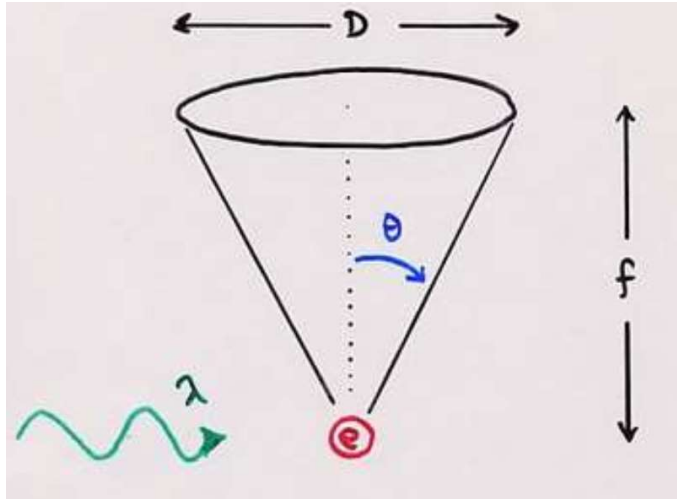
(a)



(b)

- (a) Space sails have been proposed that use the momentum of sunlight reflecting from gigantic low-mass sails to propel spacecraft about the solar system. A Russian test model of this (the Cosmos 1) was launched in 2005, but did not make it into orbit due to a rocket failure.
- (b) A U.S. version of this, labeled LightSail-1, is scheduled for trial launches in the first part of this decade. It will have a 40-m<sup>2</sup> sail. (credit: Kim Newton/NASA)

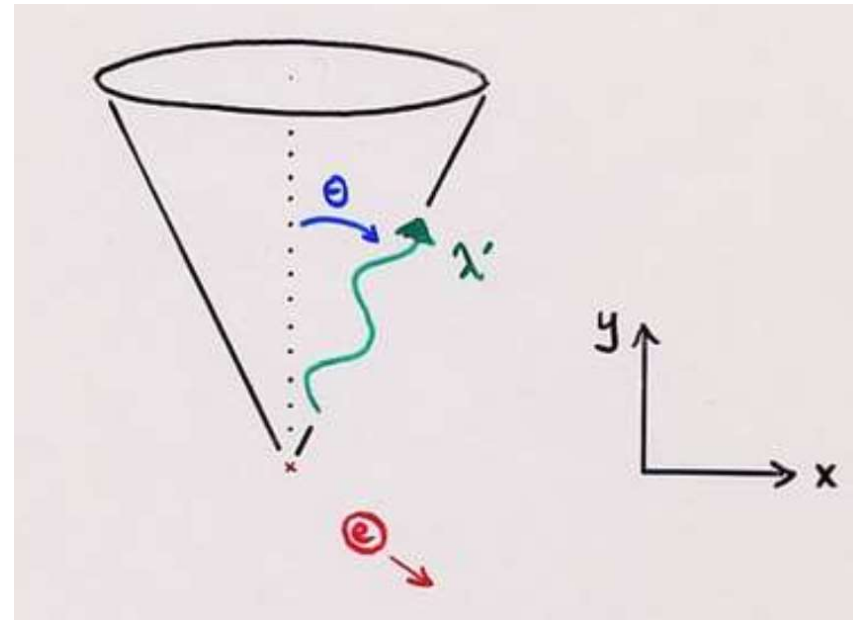
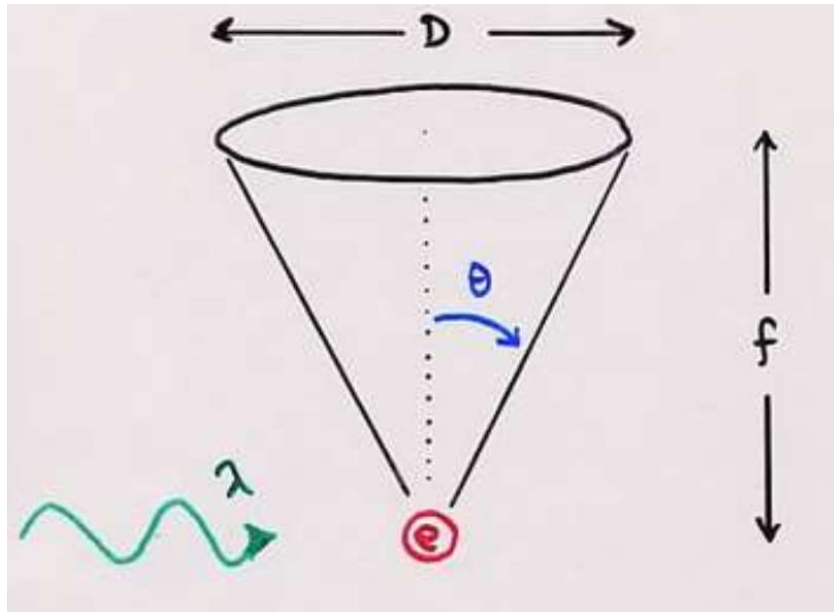
# Princípio de Incerteza do Heisenberg



Werner Heisenberg  
1901-1976  
Nobel 1932

Imagine que tentamos “observar” a posição dum eletrão através a dispersão dum único fotão

# O microscópio de Heisenberg



Colisão do fóton com o elétron → o elétron ganha um momento linear  
 Consideremos apenas os componentes ao longo o eixo horizontal.  
 Aqui temos a situação quando o elétron adquira o menor momento linear.

Antes da colisão

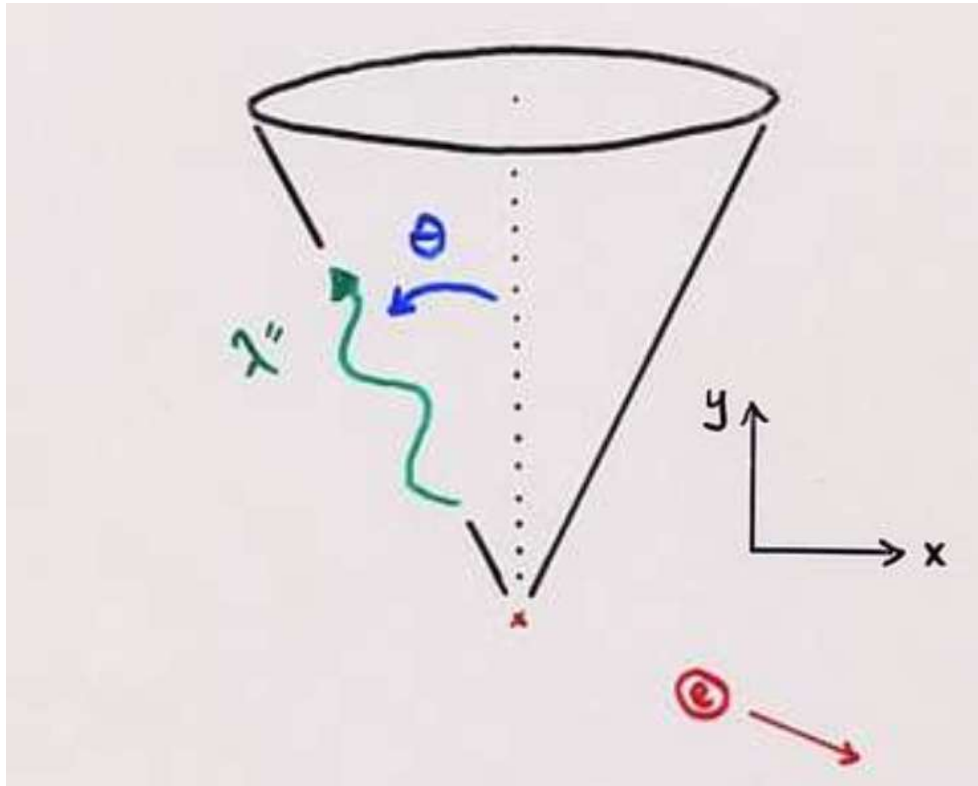
$$p_x^{\text{fóton}} = \frac{h}{\lambda} \quad p_x^{e^-} = 0$$

Depois da colisão

$$p_x^{\text{fóton}} = \frac{h}{\lambda'} \sin \theta \quad p_x^{e^-} = m_e v_x^{e^-}$$

$$(p_x^{e^-})_{\min} = \frac{h}{\lambda} - \frac{h}{\lambda'} \sin \theta$$

# Transferência máxima do momento linear



Antes da colisão

$$p_x^{\text{fotão}} = \frac{h}{\lambda} \quad p_x^{e^-} = 0$$

Depois da colisão

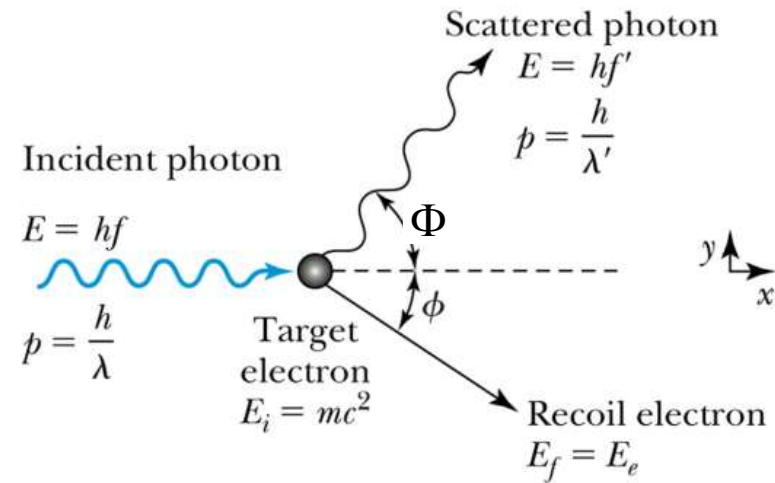
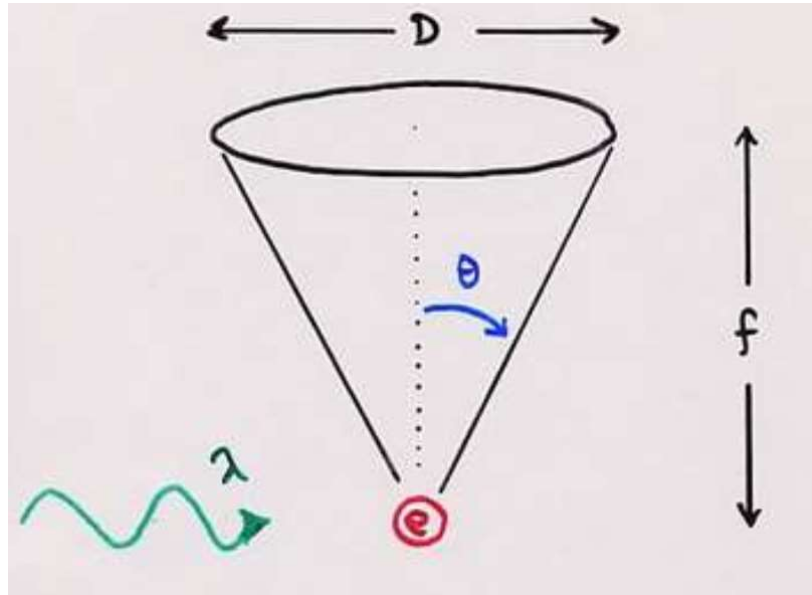
$$p_x^{\text{fotão}} = -\frac{h}{\lambda''} \sin \theta \quad p_x^{e^-} = m_e v_x^{e^-}$$

$$(p_x^{e^-})_{\text{max}} = \frac{h}{\lambda} + \frac{h}{\lambda''} \sin \theta$$

$$(p_x^{e^-})_{\text{min}} = \frac{h}{\lambda} - \frac{h}{\lambda'} \sin \theta$$

$$\Delta p_x^{e^-} = (p_x^{e^-})_{\text{max}} - (p_x^{e^-})_{\text{min}} = \frac{h}{\lambda''} \sin \theta + \frac{h}{\lambda'} \sin \theta$$

# Microscópio do Heisenberg



## Expressão do Compton

$$\lambda' - \lambda = \frac{h}{mc} [1 - \cos \Phi]$$

$$\Phi \approx \pi / 2 \quad \frac{h}{mc} = 0.0024 \text{ nm}$$

Luz visível  $\lambda$ : 400nm – 750nm

$$\lambda' \approx \lambda \approx \lambda''$$

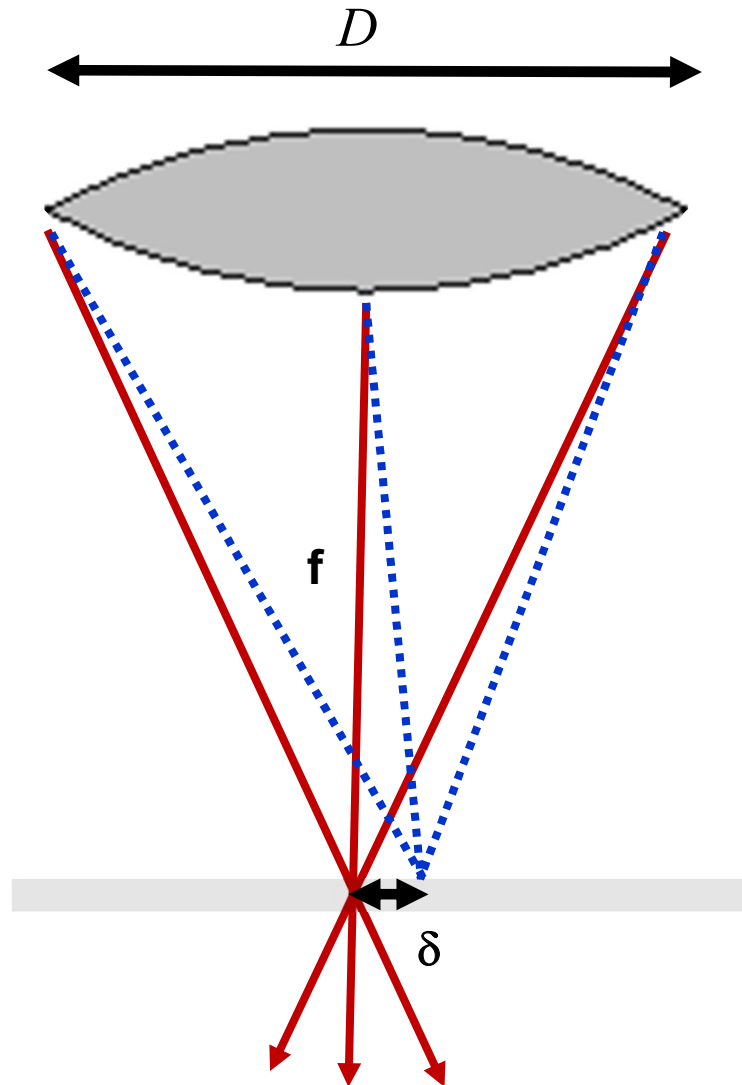
Se  $\theta \ll 1$   $\sin \theta \approx \tan \theta = \frac{D}{2f}$

$$\Delta p_x^{e^-} = (p_x^{e^-})_{\max} - (p_x^{e^-})_{\min} = \frac{h}{\lambda''} \sin \theta + \frac{h}{\lambda'} \sin \theta$$

Variação no momento do eletrão  $\Delta p_x^{e^-} \approx \frac{h}{\lambda} \frac{D}{f}$

# Microscópio do Heisenberg

Na aula anterior vimos que a resolução dum microscópio é aproximadamente



Interferência destrutiva quando

$$y_{\text{escuro}} = D \sin \theta = \frac{m\lambda D}{a} \quad a \rightarrow D; D \rightarrow f$$

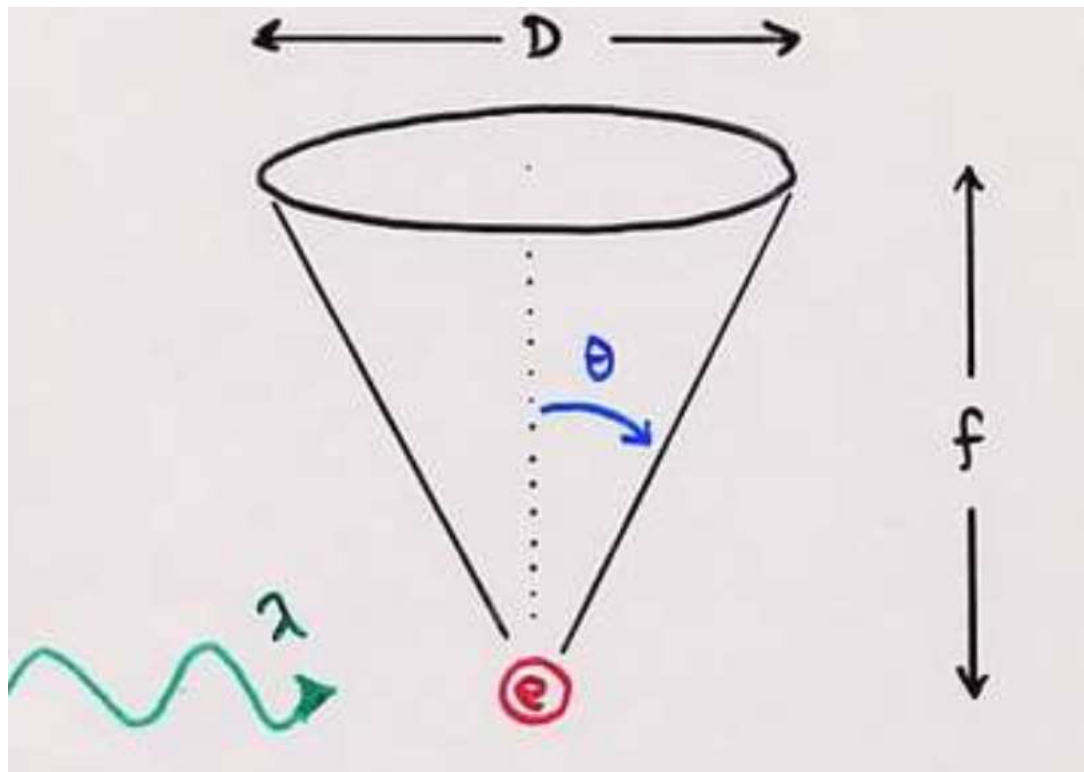
$$\delta \approx \lambda \frac{f}{D}$$

Logo a incerteza na posição do elétron seria

$$\Delta x^{e^-} \approx \lambda \frac{f}{D}$$



# Princípio de Incerteza de Heisenberg



Se definimos

$$\Delta x = \sqrt{\langle (x - \bar{x})^2 \rangle}$$

$$\Delta p_x = \sqrt{\langle (p_x - \bar{p}_x)^2 \rangle}$$

$$\Delta x \Delta p_x \geq \frac{h}{4\pi} = \frac{\hbar}{2}$$

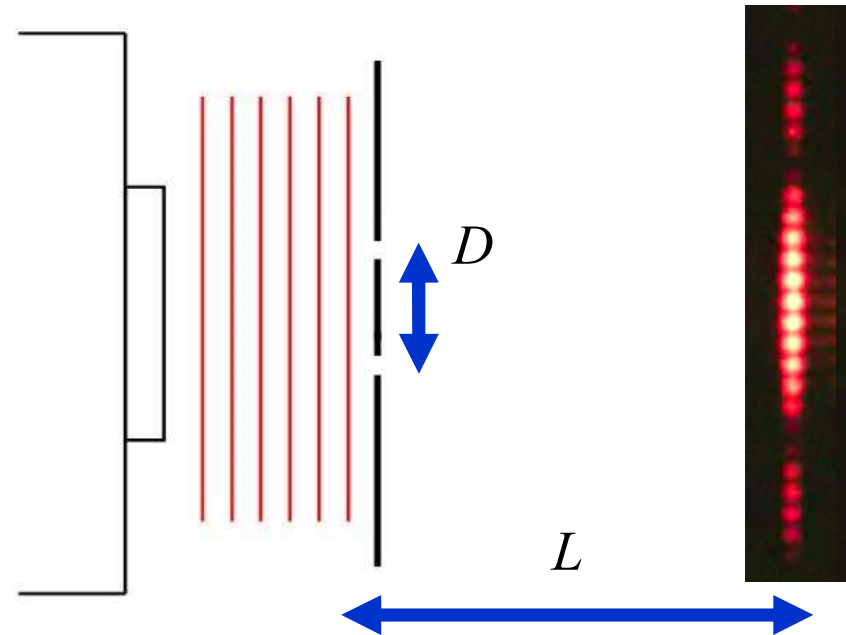
$$\Delta x^{e^-} \approx \lambda \frac{f}{D}$$

$$\Delta p_x^{e^-} \approx \frac{h}{\lambda} \frac{D}{f}$$

$$\Delta x^{e^-} \Delta p_x^{e^-} \approx h$$

Maior precisão em x (por exemplo usar  $\lambda$  menor)  
provoca maior incerteza no  $p_x$

# Experiência Dupla fenda revista



Distância  
entre franjas

$$\approx \frac{\lambda L}{D}$$

Usar um “microscópio de Heisenberg” para observar os elétrons  
provoca uma incerteza no momento linear vertical

No limite em  $p \ll mc$

$$\Delta p_y \approx \frac{h}{\Delta y} \geq \frac{2h}{D}$$

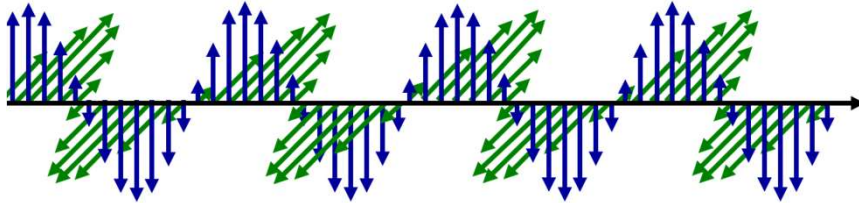
Tempo chegar ao alvo  $t_{voo} = \frac{L}{v_x^{e-}} \approx \frac{mL}{p} = \frac{mL\lambda}{h}$

Variação na posição do alvo devido  
incerteza no momento vertical

$$\Delta y_{alvo} = \frac{\Delta p_y}{m} t_{voo} \approx \frac{\Delta p_y \lambda L}{h} = 2 \frac{\lambda L}{D}$$

Obter informação sobre qual fenda o elétron passou destrói a padrão de interferência !

# Princípio de Incerteza: interpretação com ondas



Onda com um comprimento de onda bem definido

$$\psi(x, t) = A \sin\left(\frac{2\pi}{\lambda} x - 2\pi f t\right)$$

de Broglie

$$p = \frac{h}{\lambda} \quad \Rightarrow \quad \Delta p \approx 0; \Delta x \rightarrow \infty$$

Para localizar a onda temos introduzir uma incerteza no p ( i.e. l)

Para ondas eletromagnéticas no vácuo  $f\lambda = c$

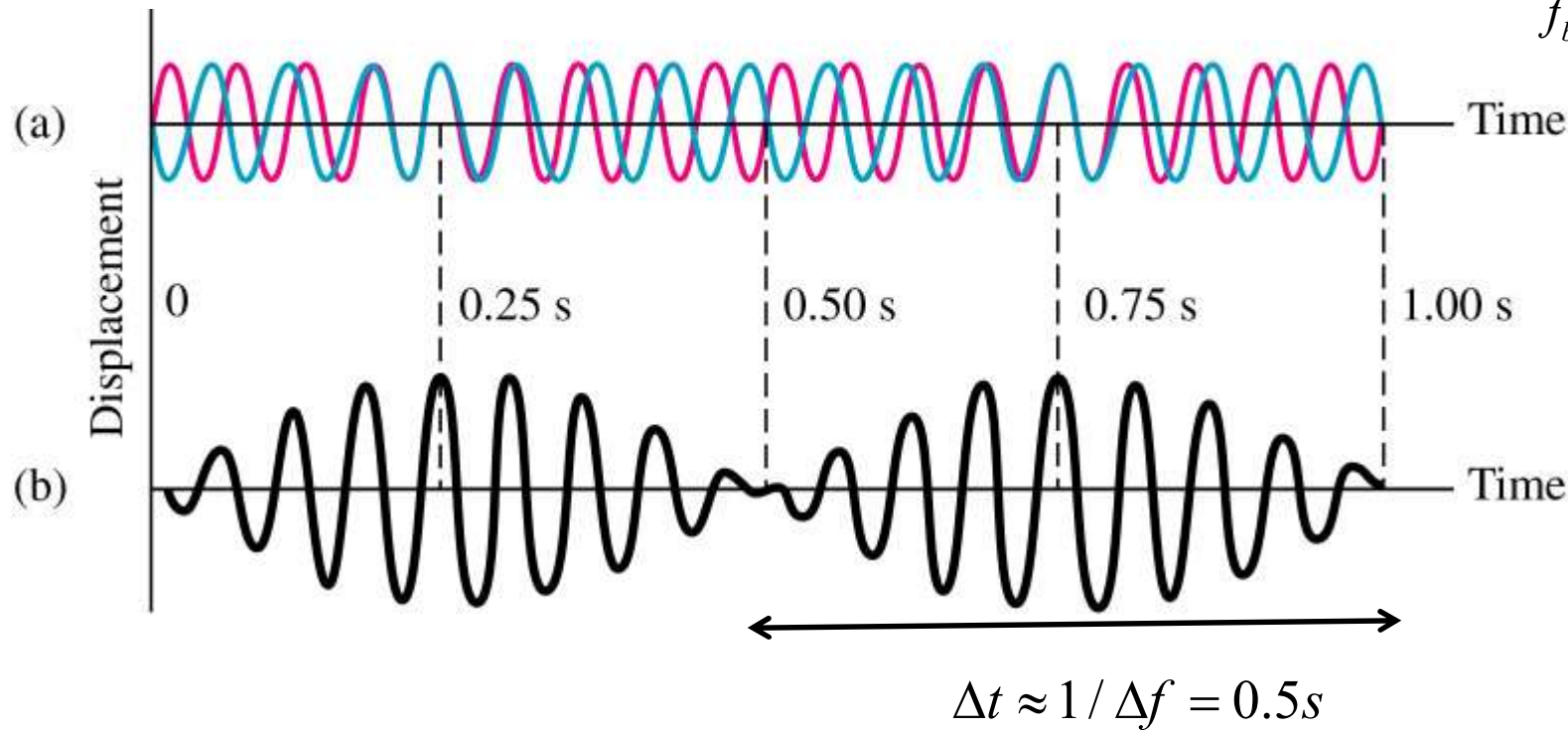
È mais fácil trabalhar com os variáveis f e tempo do que  $\lambda$  e posição...

# Batimento entre duas ondas

Sobreposição de duas ondas :  $f_{\text{batimento}} = f_a - f_b = \Delta f$

$$f_a = 18\text{Hz}$$

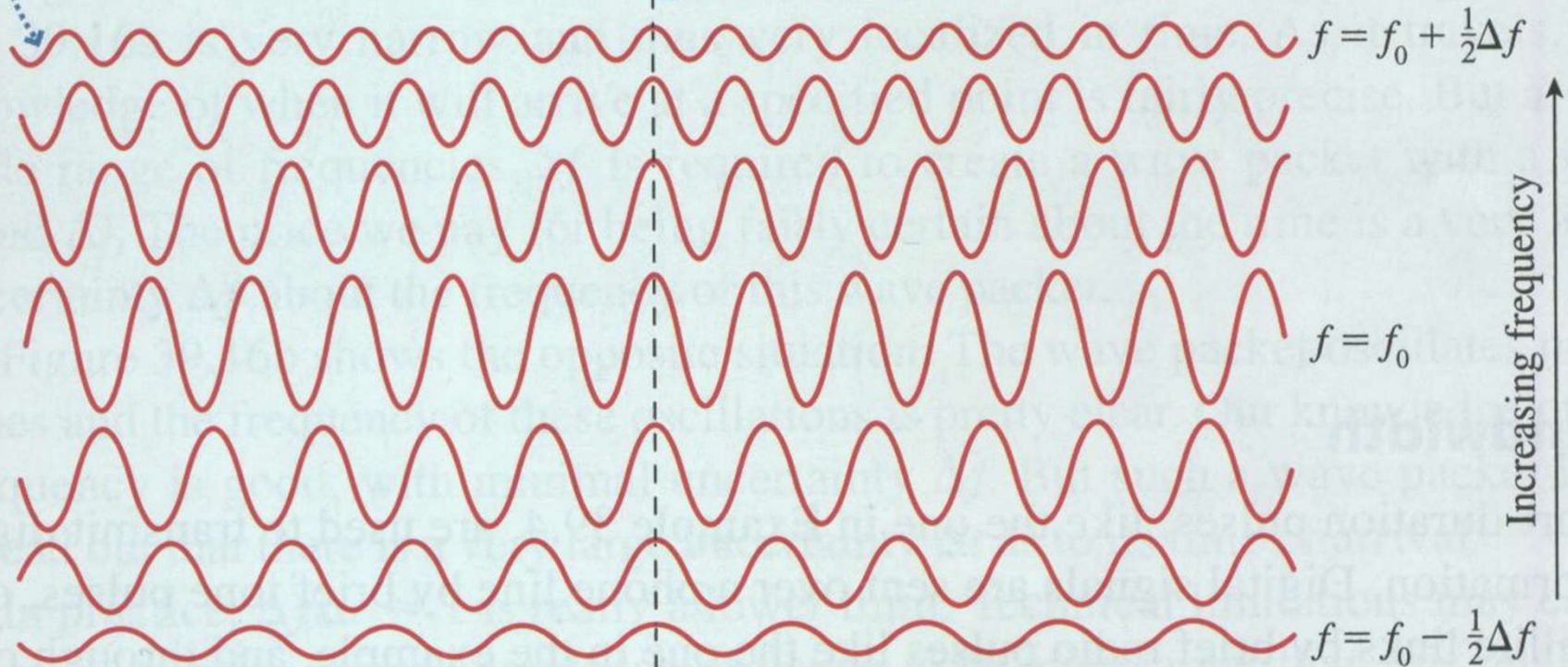
$$f_b = 16\text{Hz}$$



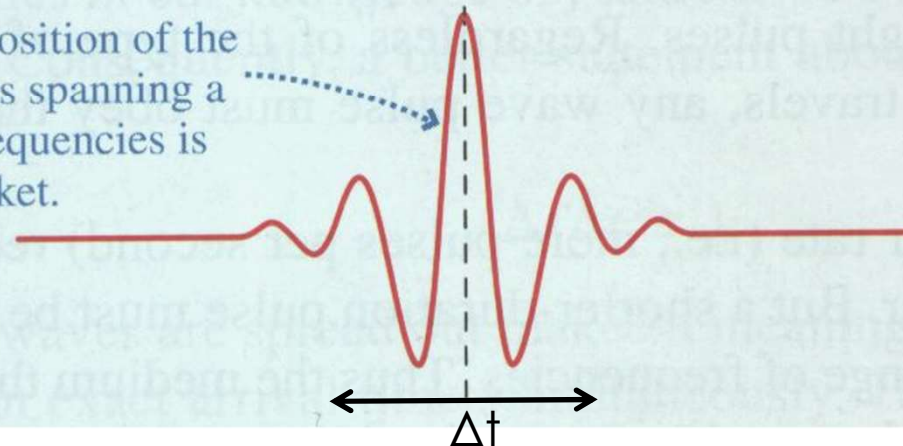


Waves to be added span the frequency range from  $f_0 - \frac{1}{2}\Delta f$  to  $f_0 + \frac{1}{2}\Delta f$ .

The waves are all in phase at this instant of time.



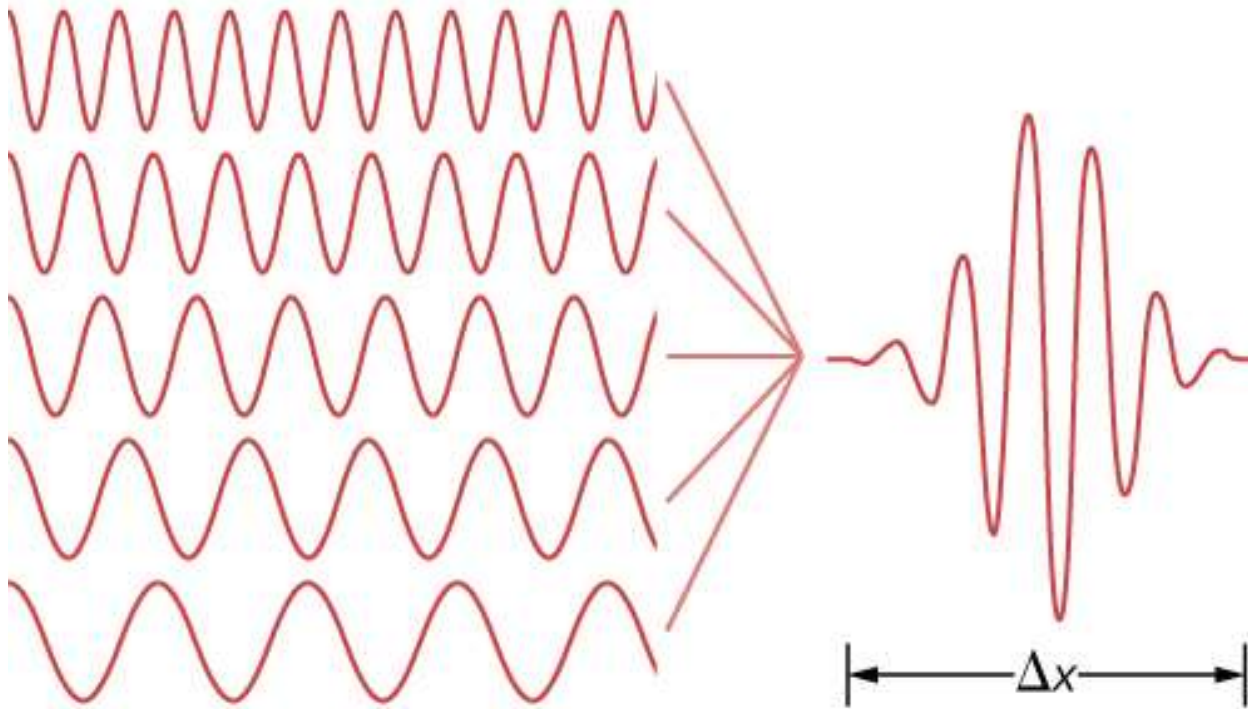
The superposition of the many waves spanning a range of frequencies is a wave packet.



$$\Delta f \Delta t \sim 1$$

Several plane waves

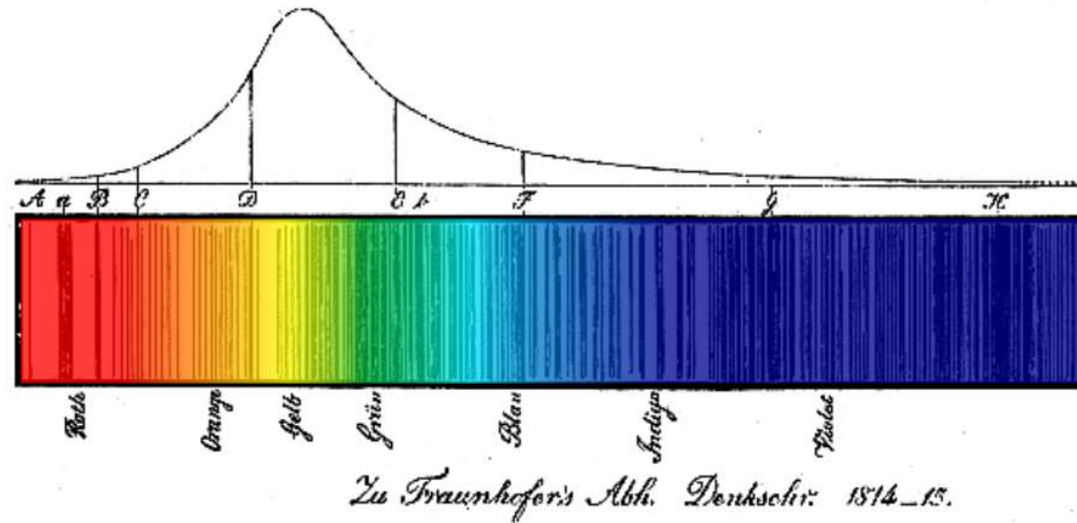
Wave packet



$$\Delta\left(\frac{1}{\lambda}\right)\Delta x \sim 1$$

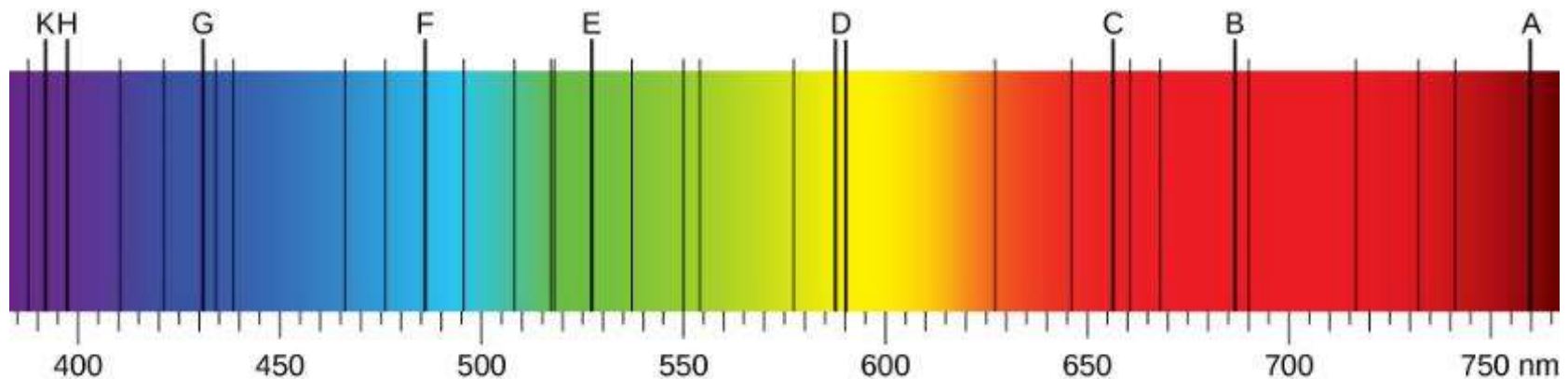
$$\underbrace{\Delta\left(\frac{h}{\lambda}\right)}_p \Delta x \sim h$$

# Linhas espectrais



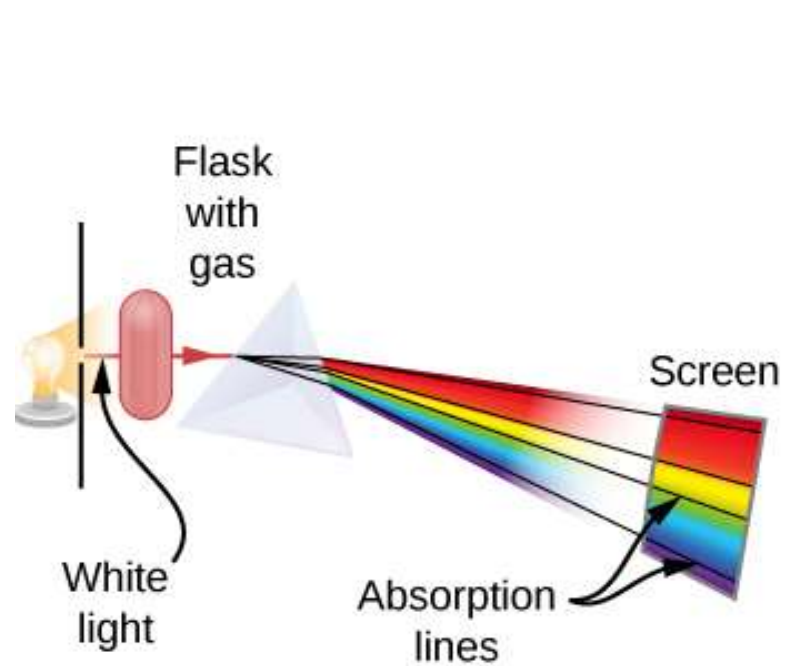
J Fraunhofer

Mediu com cuidado o espectro do Sol  
Encontrou “linhas escuras” A, B, C, ...

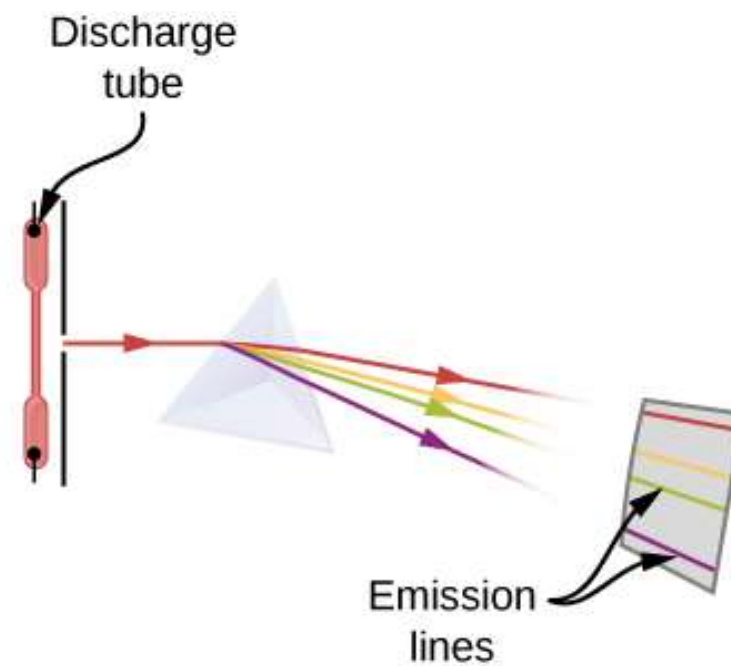




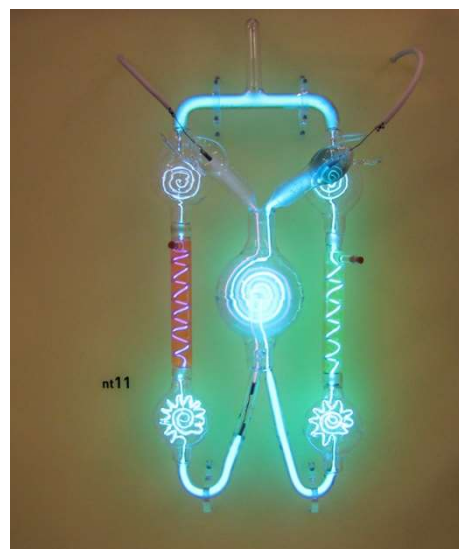
# Emissão e Absorção



(a)



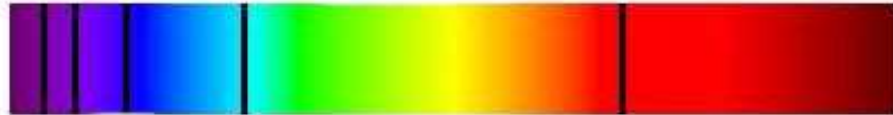
(b)





# Hidrogénio

hydrogen absorption spectrum



hydrogen emission spectrum



Johannes Rydberg  
1900

$$\frac{1}{\lambda} = R \left( \frac{1}{m^2} - \frac{1}{n^2} \right) \quad m < n$$

$$R = 1.097 \times 10^7 \text{ m}^{-1}$$

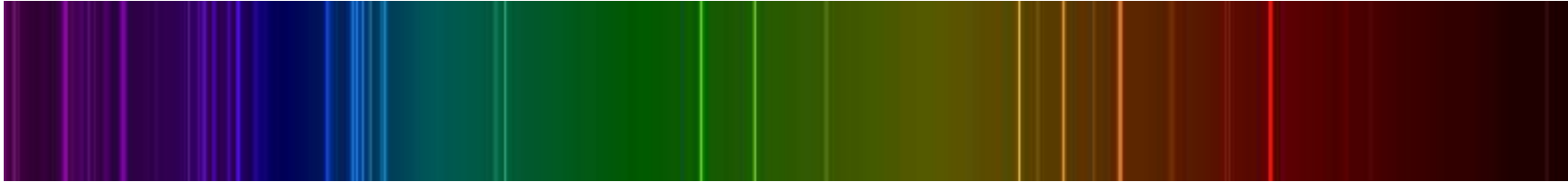
$m = 1$  Lyman  
 $m = 2$  Balmer  
 $m = 3$  Paschen  
 $m = 4$  Brackett

- Fundamentação física ausente
- Expressão apenas válida para H

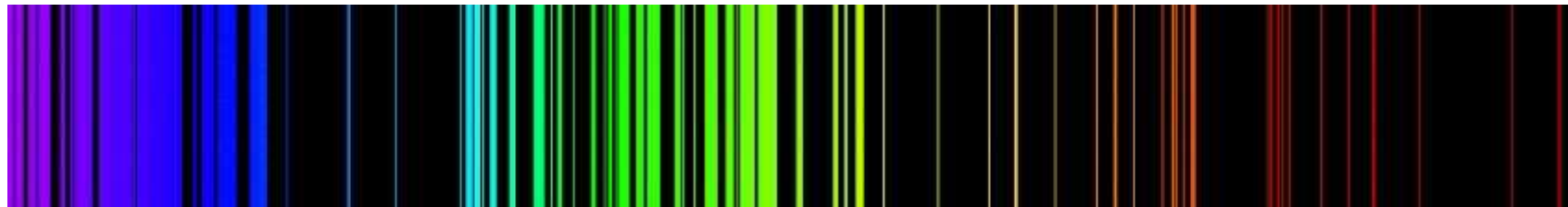
# Espetro de Oxigénio e Ferro

---

O<sub>2</sub>

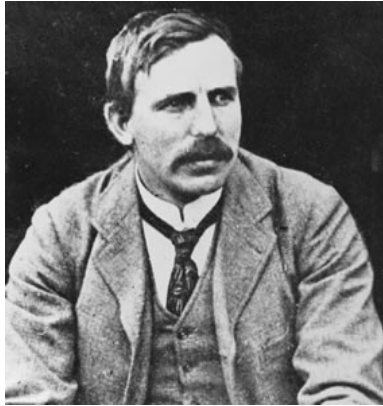


Fe

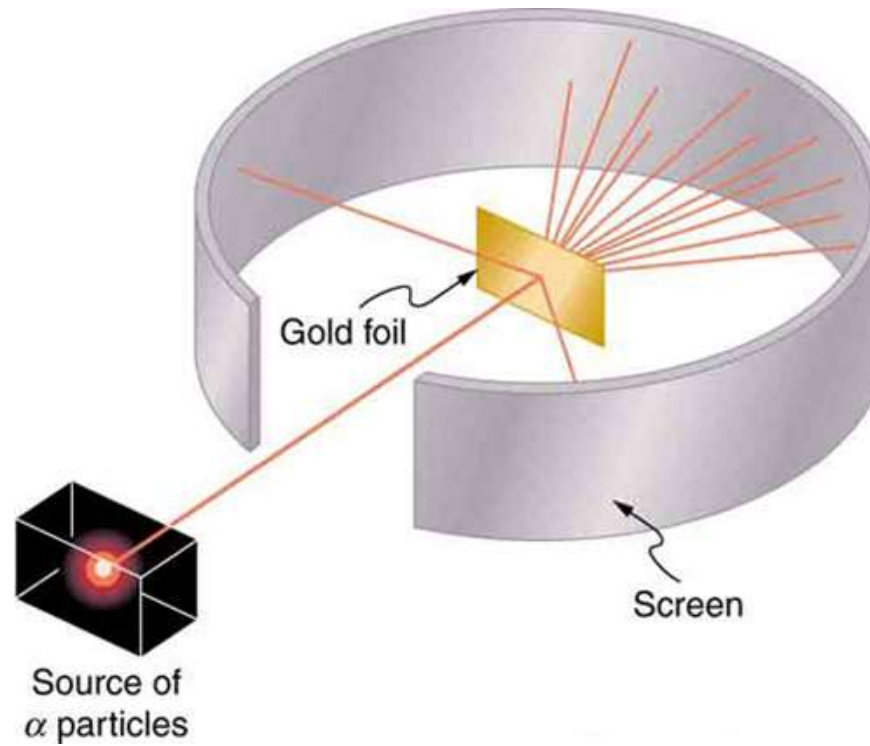


Os espectros atômicos e moleculares podem ser complexos.

# Experiência de Marsden-Rutherford



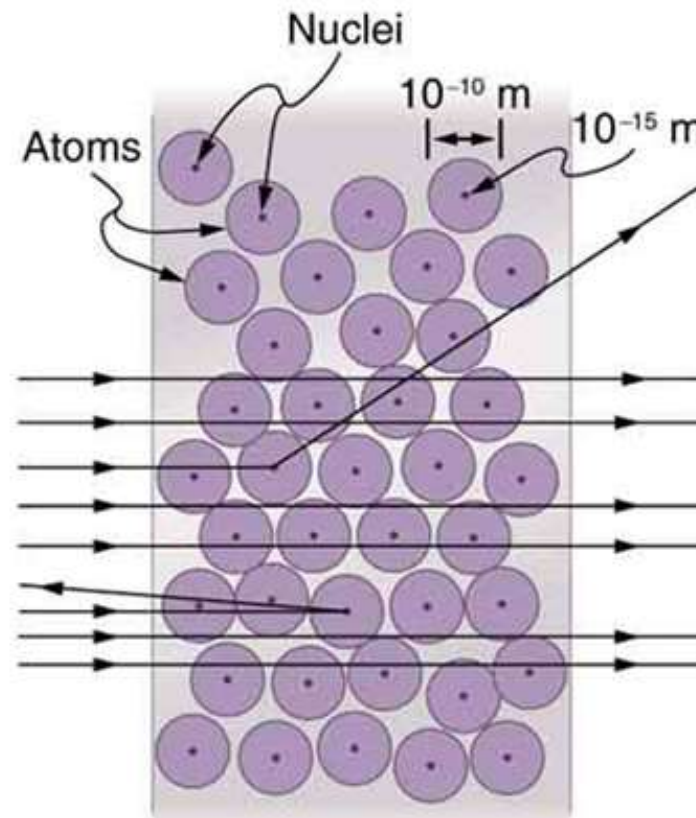
E. Rutherford  
Nobel 1908 (química)



Núcleos de He

---

Cerca de 1 em cada 100,000 partículas alfa sofrerem desvios grandes



Rutherford deduziu que a maior parte da massa dum átomo era concentrada num “núcleo” muito pequeno

## 4-5 ordens de grandeza entre tamanhos dos átomos e dos núcleos

---

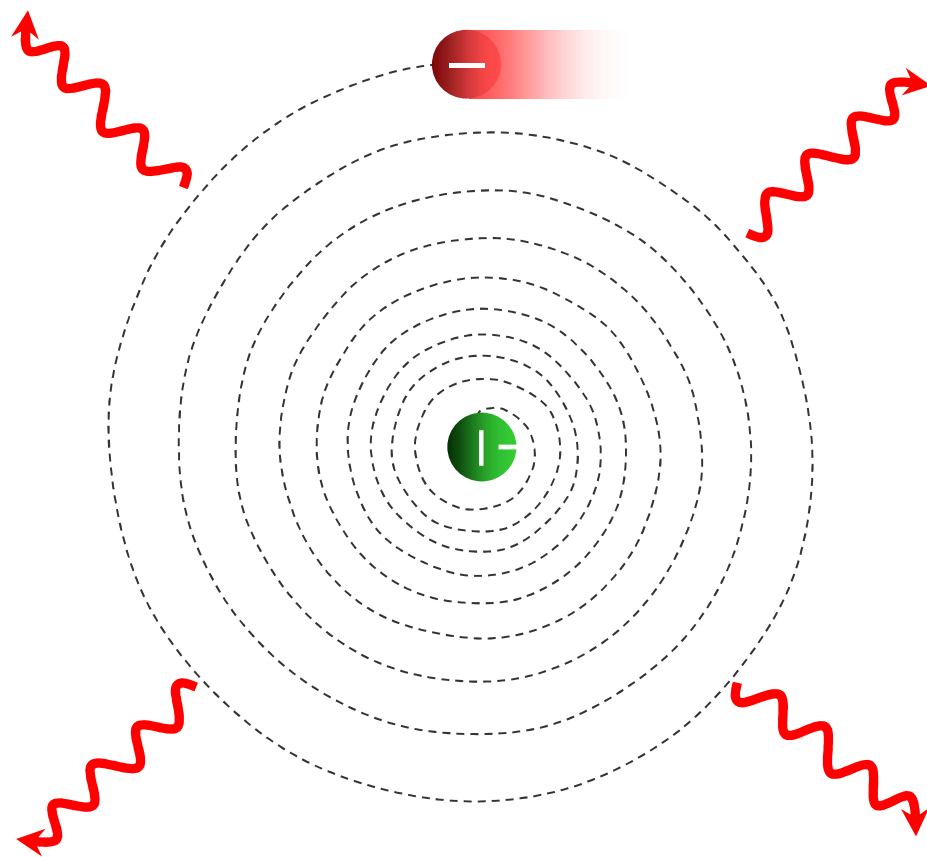
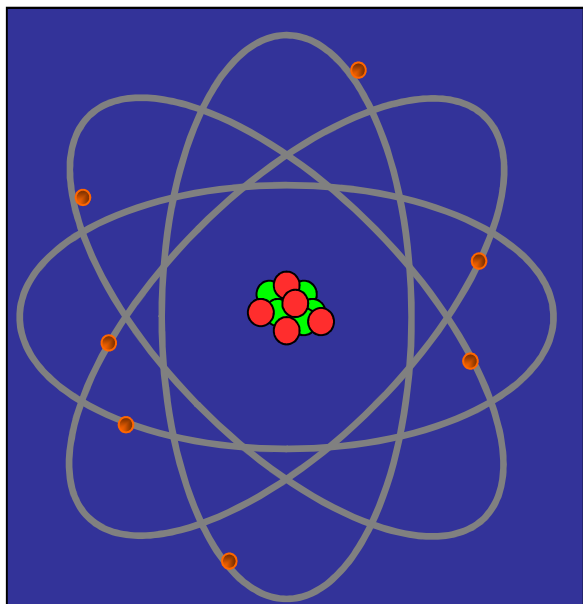


“Átomo” ~ vários estádios



“Núcleo”

# Modelo Planetário do Rutherford



Problema:

Cargas aceleradas radiam energia!

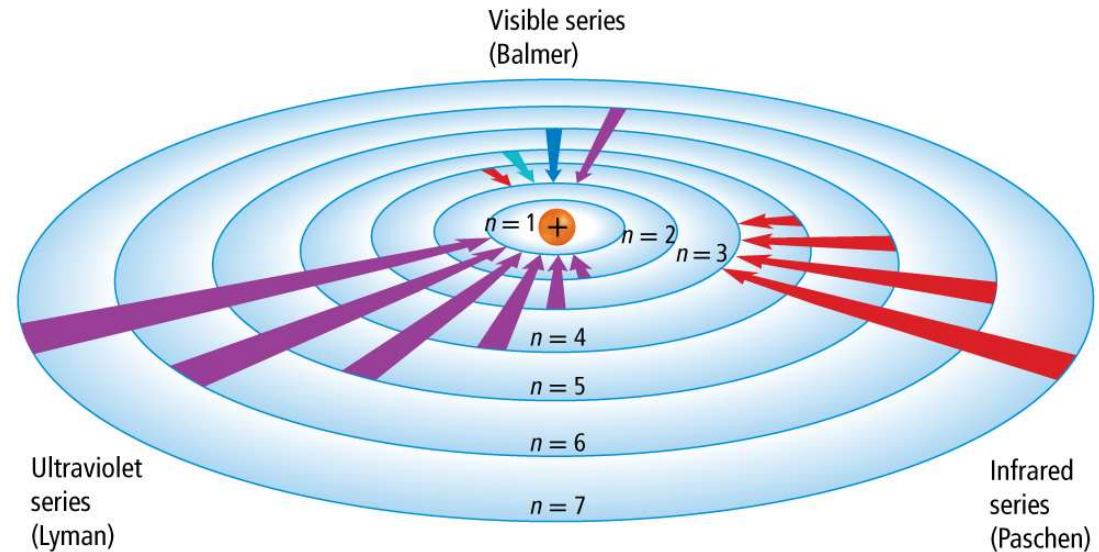
O elétron perdia energia e rapidamente aproxima o núcleo

No modelo do Rutherford os átomos não são estáveis.

# Modelo de Bohr para H

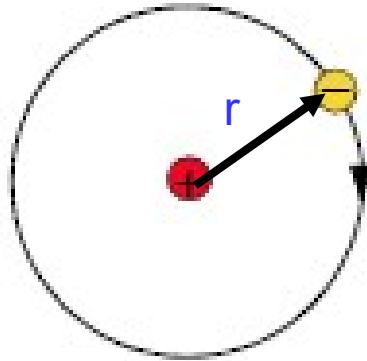


Niels Bohr  
1885-1962  
Nobel 1922



- Elêtrão apenas pode estar encontrado em certas “orbitas” circulares (estados estacionários)
- O momento angular nestas orbitas est quantizada em unidades de  $h/2\pi$
- Ao transitar duma orbita superior  uma orbita inferior o elêtro liberta energia (linhas espectrais)

# Modelo de Bohr para H



1913

Prémio Nobel 1922

Aproximação: uma vez que a massa do núcleo é muito maior do que a massa do elétron, consideremos o núcleo fixo e focaremos no elétron

interação eletrostática

$$F = \frac{1}{4\pi\epsilon_0} \frac{Qq}{r^2}$$

$$V = \frac{1}{4\pi\epsilon_0} \frac{Qq}{r}$$

Neste problema

$Q = +Ze$  ( $Z$  prótons no núcleo)

$q = -e$  (só temos um elétron)

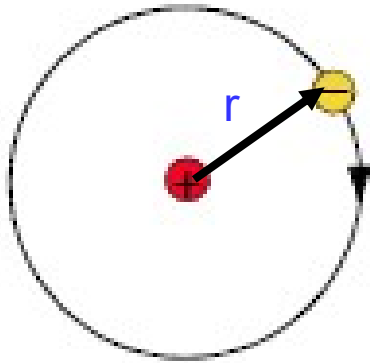


Charles Coulomb

Expressões análogas as da força de gravitação



# Modelo de Bohr para H



Energia total todo elétron  $E_{tot} = \frac{1}{2}mv^2 - \frac{1}{4\pi\epsilon_0} \frac{Ze^2}{r}$

Newton II:  $m \frac{v^2}{r} = \frac{1}{4\pi\epsilon_0} \frac{Ze^2}{r^2} \Rightarrow \frac{1}{2}mv^2 = \frac{1}{2} \frac{1}{4\pi\epsilon_0} \frac{Ze^2}{r}$

$$E_{tot} = -\frac{1}{2} \frac{1}{4\pi\epsilon_0} \frac{Ze^2}{r}$$

Quantização de  
momento angular

$$L = mvr = n\hbar$$

em Newton II

$$\frac{1}{2} \frac{n^2 \hbar^2}{mr^2} = \frac{1}{2} \frac{1}{4\pi\epsilon_0} \frac{Ze^2}{r}$$

$$m^2 v^2 = \frac{n^2 \hbar^2}{r^2}$$

$$r = \frac{n^2}{Z} \frac{4\pi\epsilon_0 \hbar^2}{me^2}$$

$$a_B \equiv \frac{4\pi\epsilon_0 \hbar^2}{me^2} \approx 0.529177109 \times 10^{-10} m$$

“Raio de Bohr”

# Espetro das energia do átomo de H

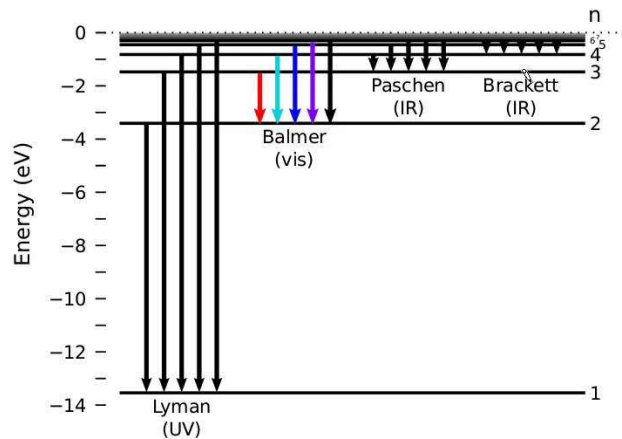
$$E_{tot} = -\frac{1}{2} \frac{1}{4\pi\epsilon_0} \frac{Ze^2}{r}$$

$$r = \frac{n^2}{Z} \frac{4\pi\epsilon_0 \hbar^2}{me^2} = \frac{n^2}{Z} a_B$$

Hidrogénio (Z = 1)

$$E_n^H = -\frac{1}{2} \left( \frac{e^2}{4\pi\epsilon_0 a_B} \right) \frac{1}{n^2} \approx -\frac{13.6 \text{ eV}}{n^2}$$

Transitions



Transição dum nível superior n até um nível inferior m  
liberte um fóton com comprimento de onda  $\lambda$

$$\Delta E = -\frac{1}{2} \left( \frac{e^2}{4\pi\epsilon_0 a_B} \right) \left( \frac{1}{n^2} - \frac{1}{m^2} \right) \quad \Delta E = \frac{hc}{\lambda}$$

$$\frac{1}{\lambda} = \underbrace{\frac{1}{2hc} \left( \frac{e^2}{4\pi\epsilon_0 a_B} \right)}_{R \approx 1.097 \times 10^7 \text{ m}^{-1}} \left( \frac{1}{m^2} - \frac{1}{n^2} \right)$$

Descreve o espectro de hidrogénio!

---

Condição de quantização

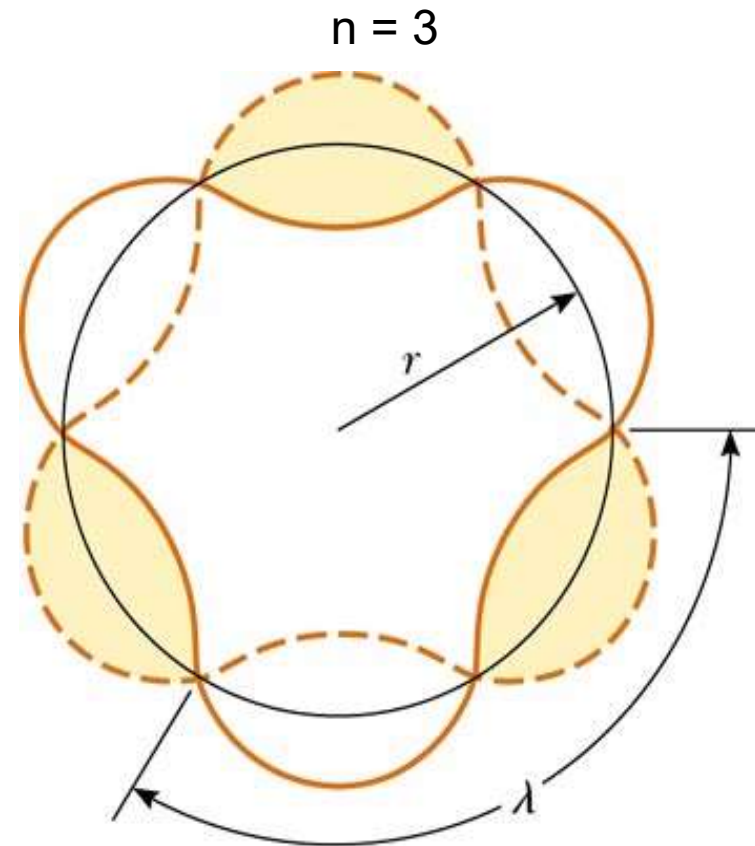
$$L = mvr = n\hbar$$

Relação de deBroglie

$$p = mv = \frac{h}{\lambda}$$

$$\frac{h}{\lambda} r = n \frac{h}{2\pi}$$

$$\Rightarrow 2\pi r = n\lambda$$



As órbitas “permitidas” são aquelas para qual existe um interferência construtiva das ondas do de Broglie...

# Pormenores

---

$$r = \frac{n^2}{Z} \frac{4\pi\epsilon_0 \hbar^2}{me^2} \quad mvr = n\hbar$$

$$v = \frac{n\hbar}{mr} = \frac{Z}{n} c \frac{e^2}{4\pi\epsilon_0 \hbar^2 c} \quad \alpha = \frac{e^2}{4\pi\epsilon_0 \hbar^2 c} \approx \frac{1}{137.06} \quad \text{Constante de estrutura fina}$$

Em geral, para os átomos mais leves, os efeitos de relatividade são pequenas perturbações.

Notar que

$$E_n^Z = -\frac{1}{2} \left( \frac{Ze^2}{4\pi\epsilon_0 a_B} \right) \frac{Z}{n^2} \quad a_B = \frac{4\pi\epsilon_0 \hbar^2}{me^2}$$

$$E_n^Z = -\frac{1}{2} mc^2 \left( \frac{e^2}{4\pi\epsilon_0 \hbar c} \right)^2 \frac{Z^2}{n^2} = -\frac{1}{2} mc^2 \alpha^2 \frac{Z^2}{n^2}$$

Finalmente quero os avisar que embora o modelo de Bohr acerta nas energias e dá escalas certas para os tamanhos dos átomos e as velocidades típicos dos elétrons, falha gravemente na atribuição de momento angular as órbitas.